

Московский государственный университет им. М.В. Ломоносова

КУРС ЛЕКЦИЙ

Резонансные состояния в нанооптике

С.Г. Тиходеев

Общий случай наклонного падения света

Рассмотрим общий случай падения на слоистую систему электромагнитной волны вида

$$\mathbf{E}(x, y, z, t) = \mathbf{E} e^{ik_x x + ik_y y + ik_z z - i\omega t} = (E_x, E_y, E_z) e^{ik_x x + ik_y y + ik_z z - i\omega t},$$

$$\mathbf{H}(x, y, z, t) = \mathbf{H} e^{ik_x x + ik_y y + ik_z z - i\omega t} = (H_x, H_y, H_z) e^{ik_x x + ik_y y + ik_z z - i\omega t}.$$

Будем по-прежнему считать, что слои параллельны xy плоскости.

Для простоты рассматриваем однородные слои с различными диэлектрическими проницаемостями.

Уравнения Максвелла в каждом слое (считаем, что свободных зарядов нет, и все среды изотропны), имеют вид

$$-\frac{1}{c} \frac{\partial \mathbf{H}}{\partial t} = \nabla \times \mathbf{E},$$

$$\frac{1}{c} \frac{\partial \mathbf{D}}{\partial t} = \nabla \times \mathbf{H},$$

$$\nabla \mathbf{E} = 0, \quad \nabla \mathbf{H} = 0.$$

Если из первой пары уравнений Максвелла исключить магнитное поле, и учесть равенство нулю дивергенции электрического поля, для каждого слоя, как известно, получится волновое уравнение

$$-\frac{1}{c^2} \frac{\partial^2 \mathbf{D}}{\partial t^2} = \nabla \times \nabla \times \mathbf{E} = \nabla(\nabla \mathbf{E}) - \Delta \mathbf{E} = -\Delta \mathbf{E},$$

$$\Delta \mathbf{E} - \frac{1}{c^2} \frac{\partial^2 \mathbf{D}}{\partial t^2} = 0.$$

Отсюда в слое j с диэлектрической проницаемостью ε_j получим

$$k_x^2 + k_y^2 + k_{z,j}^2 = \varepsilon_j k_0^2, \quad k_0 = \frac{\omega}{c},$$

или

$$k_{z,j} = \pm \sqrt{\varepsilon_j k_0^2 - k_x^2 - k_y^2}.$$

Поэтому решение в каждом слое будет по-прежнему суммой волн

$$\mathbf{E}_{(j)}(x, y, z, t) = \mathbf{E}_{(j)}^+ e^{ik_x x + ik_y y + ik_{z,j} z - i\omega t} + \mathbf{E}_{(j)}^- e^{ik_x x + ik_y y - ik_{z,j} z - i\omega t},$$

$$\mathbf{H}_{(j)}(x, y, z, t) = \mathbf{H}_{(j)}^+ e^{ik_x x + ik_y y + ik_{z,j} z - i\omega t} + \mathbf{H}_{(j)}^- e^{ik_x x + ik_y y - ik_{z,j} z - i\omega t},$$

распространяющихся вдоль направления оси z и в обратную сторону. В дальнейшем мы не будем выписывать индекс слоя j , но запомним, что длина волнового вектора фотона в квадрате в соответствующем слое есть, конечно, $\varepsilon_j k_0^2$.

Для сшивки решений в соседних слоях используем граничные условия Максвелла непрерывности тангенциальных компонент электрического и магнитного полей.

Из условий поперечности очевидно, что компоненты полей вдоль z не являются независимыми, и для формулировки метода матриц переноса достаточно ограничиться только амплитудами тангенциальных компонент электрического и магнитного полей.

А поскольку через уравнение Максвелла с ротором \mathbf{E} получается линейная связь между компонентами магнитного и электрического полей, достаточно в амплитудном представлении ограничиться амплитудами тангенциальных компонент только электрического поля.

В итоге получим, что для полного решения задачи методом матриц переноса достаточно рассмотреть матрицы переноса для столбцов амплитуд вида

$$\vec{\mathcal{A}}(z) = \begin{pmatrix} \mathcal{A}^+(z) \\ \mathcal{A}^-(z) \end{pmatrix}, \quad \mathcal{A}^\pm(z) = \begin{pmatrix} E_x^\pm \\ E_y^\pm \end{pmatrix}.$$

Как и раньше, легко понять, что перенос на расстояние d через однородный слой по-прежнему делается диагональной матрицей \mathbb{T}_d , которая теперь стала матрицей 4×4 ,

$$\vec{A}(z + d) = \mathbb{T}_d \vec{A}(z),$$
$$\mathbb{T}_d = \begin{pmatrix} e^{ik_z d} & 0 & 0 & 0 \\ 0 & e^{ik_z d} & 0 & 0 \\ 0 & 0 & e^{-ik_z d} & 0 \\ 0 & 0 & 0 & e^{-ik_z d} \end{pmatrix}.$$

Для получения интерфейсной матрицы $\mathbb{T}_{jj'}$ введем сначала, как и в случае нормального падения, материальную матрицу, связывающую амплитуды тангенциальных компонент электрического поля с полным набором непрерывных на интерфейсе тангенциальных компонент электрического и магнитного полей. Пусть

$$\vec{\mathcal{F}} = \begin{pmatrix} E_x \\ E_y \\ H_x \\ H_y \end{pmatrix}.$$

$$\vec{\mathcal{F}} = \mathbb{F} \vec{\mathcal{A}},$$

Используя связь между компонентами электрического и магнитного полей из уравнений Максвелла, легко показать, что

$$\mathbb{F} = \begin{pmatrix} 1 & 0 & 1 & 0 \\ 0 & 1 & 0 & 1 \\ -\frac{k_x k_y}{k_z k_0} & -\frac{k_z^2 + k_y^2}{k_z k_0} & \frac{k_x k_y}{k_z k_0} & \frac{k_z^2 + k_y^2}{k_z k_0} \\ \frac{k_z^2 + k_x^2}{k_z k_0} & \frac{k_x k_y}{k_z k_0} & -\frac{k_z^2 + k_x^2}{k_z k_0} & -\frac{k_x k_y}{k_z k_0} \end{pmatrix}$$

Давайте теперь предположим, без ограничения общности, что плоскость падения света совпадает с плоскостью zx , и $k_y = 0$.

$$\mathbb{F} = \begin{pmatrix} 1 & 0 & 1 & 0 \\ 0 & 1 & 0 & 1 \\ 0 & -\frac{k_z}{k_0} & 0 & \frac{k_z}{k_0} \\ \frac{k_z^2 + k_x^2}{k_z k_0} & 0 & -\frac{k_z^2 + k_x^2}{k_z k_0} & 0 \end{pmatrix} = \begin{pmatrix} 1 & 0 & 1 & 0 \\ 0 & 1 & 0 & 1 \\ 0 & -\frac{k_z}{k_0} & 0 & \frac{k_z}{k_0} \\ \varepsilon \frac{k_0}{k_z} & 0 & -\varepsilon \frac{k_0}{k_z} & 0 \end{pmatrix}$$

Напомню, что я здесь не выписывал индекс слоя j , который имеется только у самой материальной матрицы, диэлектрической проницаемости и не сохраняющейся от слоя к слою z -компоненты волнового вектора фотона.

Итак,

$$\mathbb{F}_j = \begin{pmatrix} 1 & 0 & 1 & 0 \\ 0 & 1 & 0 & 1 \\ 0 & -\frac{k_{z,j}}{k_0} & 0 & \frac{k_{z,j}}{k_0} \\ \frac{\varepsilon_j k_0}{k_{z,j}} & 0 & -\frac{\varepsilon_j k_0}{k_{z,j}} & 0 \end{pmatrix}.$$

Отметим, что для падения света по нормали к слоям ($k_x = 0$, $k_{z,j} = n_j k_0$, где $n_j = \sqrt{\varepsilon_j}$)

$$\mathbb{F}_j = \begin{pmatrix} 1 & 0 & 1 & 0 \\ 0 & 1 & 0 & 1 \\ 0 & -n_j & 0 & n_j \\ n_j & 0 & -n_j & 0 \end{pmatrix}.$$

Напоминает то, что мы писали в представлении матриц 2x2.

Тангенциальные слоям компоненты волнового вектора фотона сохраняются, благодаря трансляционной инвариантности системы вдоль слоев. Как и раньше, получаем на интерфейсе между слоями

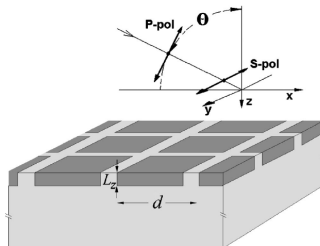
$$\vec{\mathcal{F}}_{j'} = \vec{\mathcal{F}}_j,$$

$$\mathbb{F}_{j'} \vec{\mathcal{A}}_{j'} = \mathbb{F}_j \vec{\mathcal{A}}_j,$$

$$\vec{\mathcal{A}}_{j'} = \mathbb{F}_{j'}^{-1} \mathbb{F}_j \vec{\mathcal{A}}_j,$$

$$\mathbb{T}_{j',j} = \mathbb{F}_{j'}^{-1} \mathbb{F}_j.$$

Можно заметить, что для волн S и P поляризаций (см. на рисунке) оказываются ненулевыми компоненты E_y, H_x и E_x, H_y , соответственно.



Из-за полученной структуры матриц переноса для однородных изотропных слоев можно в результате еще дальше упростить наше описание.

Именно, пары компонент полей E_y, H_x для S -поляризации и E_x, H_y для P -поляризации развязываются, и можно сохранить уже привычную нам структуру матриц переноса 2×2 :

$$\mathbb{F}_{j,P(S)} = \begin{pmatrix} 1 & 1 \\ \alpha_{j,P(S)} & -\alpha_{j,P(S)} \end{pmatrix}, \quad \mathbb{F}_{j,P(S)}^{-1} = \frac{1}{2} \begin{pmatrix} 1 & \frac{1}{\alpha_{j,P(S)}} \\ 1 & -\frac{1}{\alpha_{j,P(S)}} \end{pmatrix},$$

$$\alpha_{j,S} = -\frac{k_{z,j}}{k_0}, \quad \alpha_{j,P} = \frac{\varepsilon_j k_0}{k_{z,j}}.$$

Поэтому по-прежнему интерфейсные матрицы для обеих поляризаций имеют вид

$$\mathbb{T}_{j'j} = \frac{1}{2} \begin{pmatrix} 1 + M & 1 - M \\ 1 - M & 1 + M \end{pmatrix}, \quad M = \frac{\alpha_j}{\alpha_{j'}},$$

и только M различны для разных поляризаций,

$$M_S = \frac{k_{z,j}}{k_{z,j'}}, \quad M_P = \frac{\varepsilon_j k_{z,j'}}{\varepsilon_{j'} k_{z,j}}$$

(2×2 матрицы T_d остаются старыми и здесь не выписаны).

Для того, чтобы определить оптические спектры пропускания $T_{S(P)}$ и отражения $R_{S(P)}$ в случае наклонного падения, например, под углом падения ϑ вдоль направления оси z (как показано на рисунке выше) нужно вычислить

$$R_S = -\frac{P_{z,U,S}^-}{P_{z,U,S}^+}, \quad T_S = \frac{P_{z,D,S}^+}{P_{z,U,S}^+},$$

где

$$P_{z,U,S}^\pm = -\frac{1}{16\pi} \left[(E_{y,U}^\pm)^* H_{x,U}^\pm + E_{y,U}^\pm (H_{x,U}^\pm)^* \right]$$

— z -компонента вектора Пойнтинга падающей сверху и отраженной вверх S -волны, то есть вычисляемая с помощью значений соответствующих компонент электрического и магнитного поля на верхней части структуры, что отмечено индексом U , а

$$P_{z,D,S}^\pm = -\frac{1}{16\pi} \left[(E_{y,D}^\pm)^* H_{x,D}^\pm + E_{y,D}^\pm (H_{x,D}^\pm)^* \right]$$

— то же для прошедшей вниз волны, то есть вычисляемая с помощью полей на нижней части структуры, что отмечено индексом D .

Аналогично, для P -поляризации

$$R_P = -\frac{P_{z,U,P}^-}{P_{z,U,P}^+}, \quad T_P = \frac{P_{z,D,P}^+}{P_{z,U,P}^+},$$

где

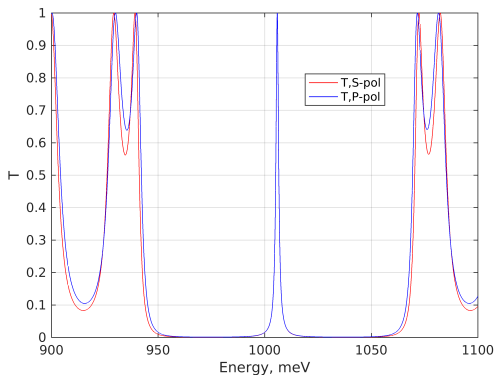
$$P_{z,U,P}^\pm = \frac{1}{16\pi} \left[(E_{x,U}^\pm)^* H_{y,U}^\pm + E_{x,U}^\pm (H_{y,U}^\pm)^* \right]$$

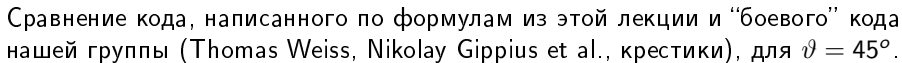
— z -компонента вектора Пойнтинга падающей сверху и отраженной вверх P -волны, то есть вычисляемая с помощью значений соответствующих компонент электрического и магнитного поля на верхней части структуры, что отмечено индексом U , а

$$P_{z,D,P}^+ = \frac{1}{16\pi} \left[(E_{x,D}^+)^* H_{y,D}^+ + E_{x,D}^+ (H_{y,D}^+)^* \right]$$

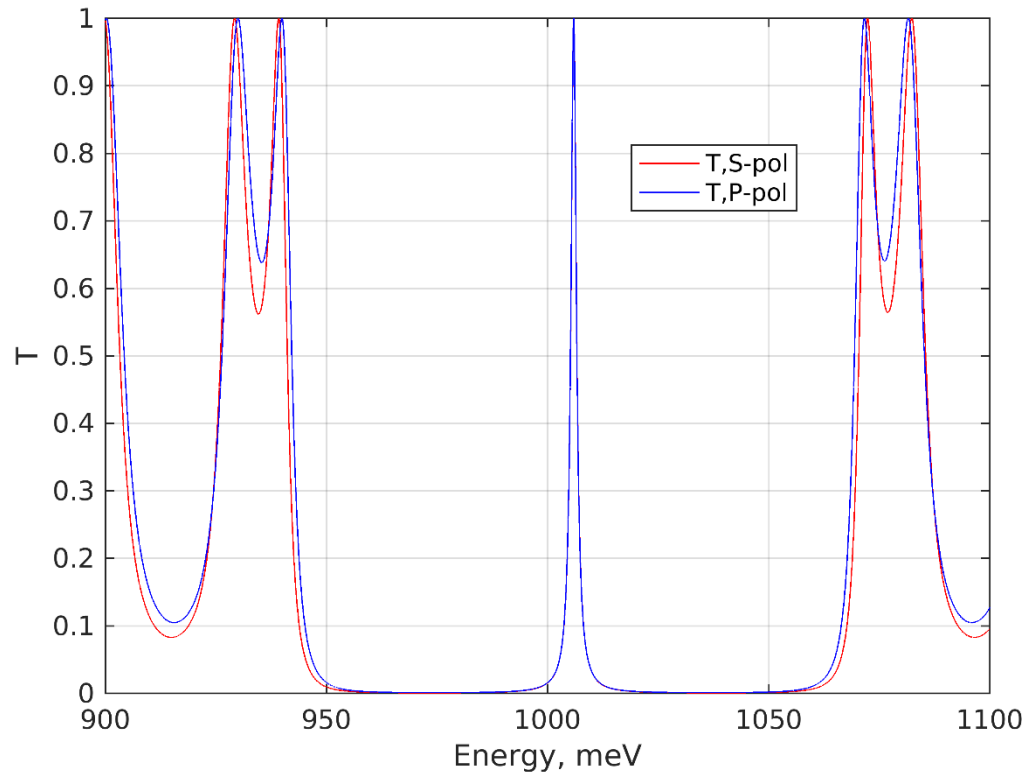
— то же для прошедшей вниз волны, то есть вычисляемая с помощью полей на нижней части структуры, что отмечено индексом D .

В результате, как несложно убедиться, остаются в силе старые формулы, связывающие коэффициенты пропускания и отражения с компонентами матрицы переноса. Пример расчета для пустого брэгговского микрорезонатора (с теми же параметрами, что были рассмотрены ранее), для угла падения $\vartheta = 20^\circ$, показан на рисунке. Видно, что возникает, как мы и обсуждали в начале лекции, синий сдвиг резонанса. Который при нормальном падении был точно на 1эВ. А разница между поляризациями в данном случае невелика.



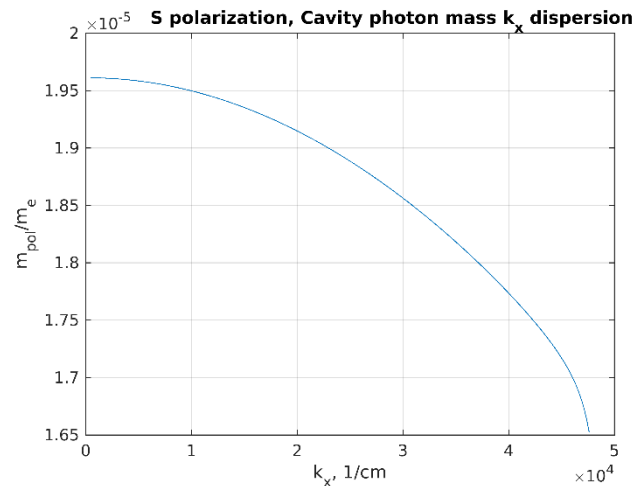
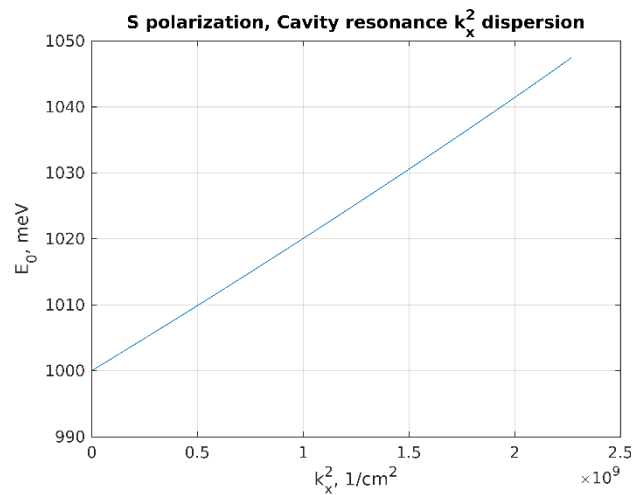
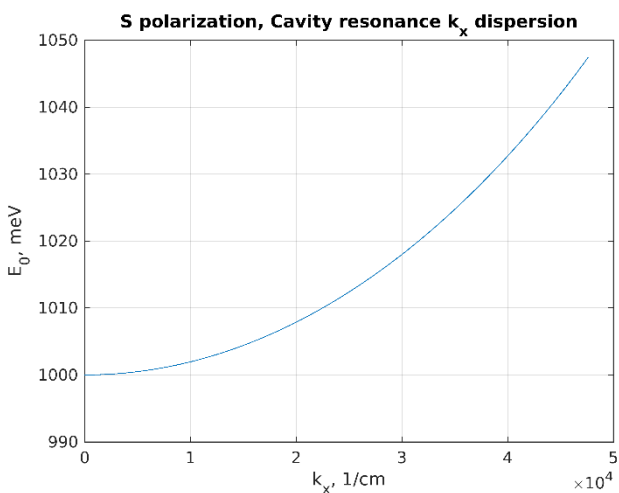
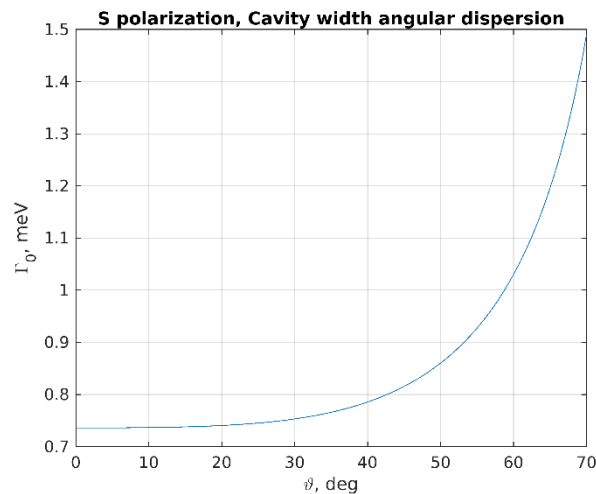
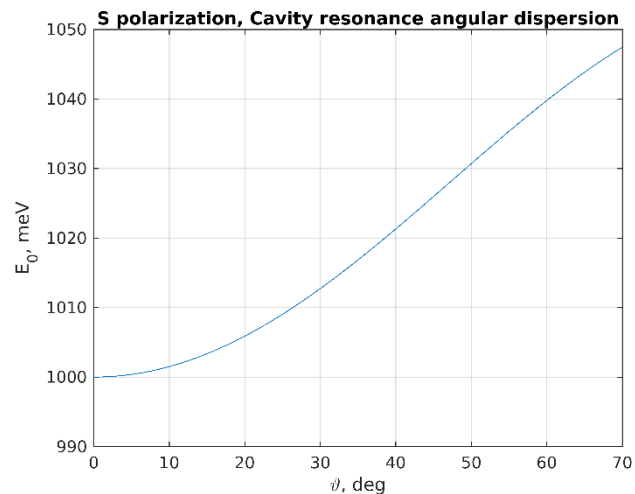


Итак, мы научились рассчитывать оптические спектры
брэгговского микрорезонатора при наклонном падении света



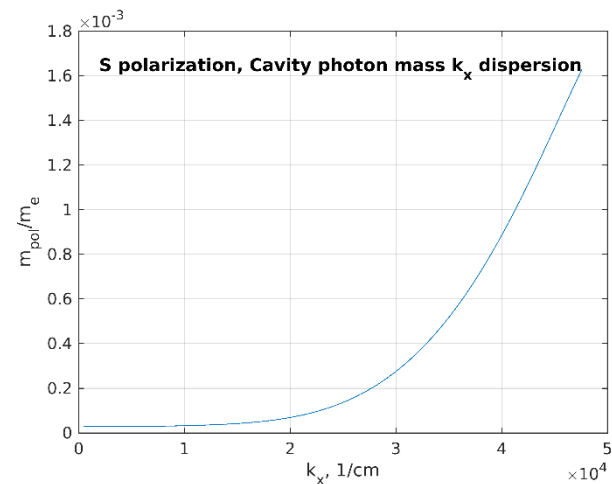
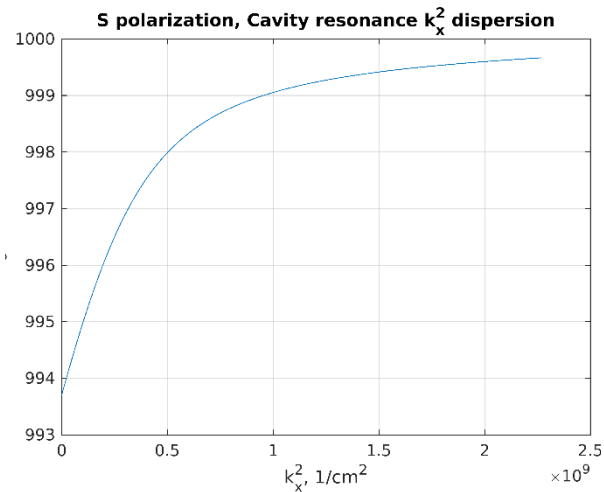
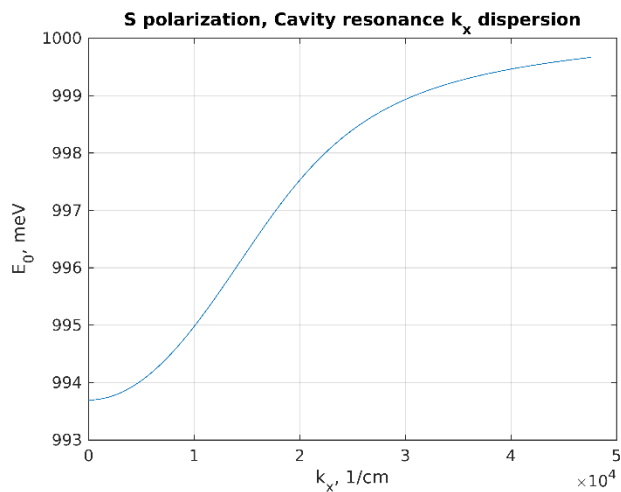
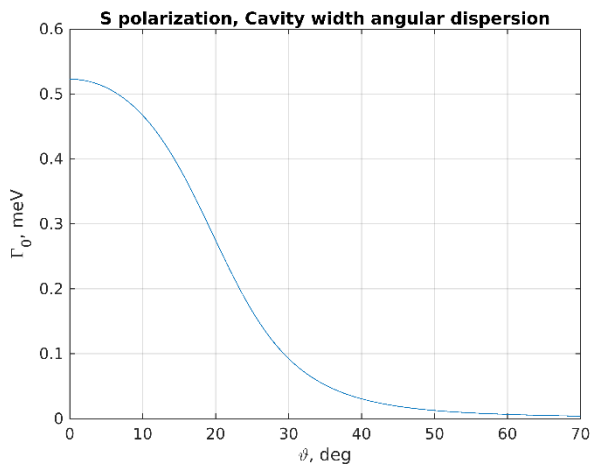
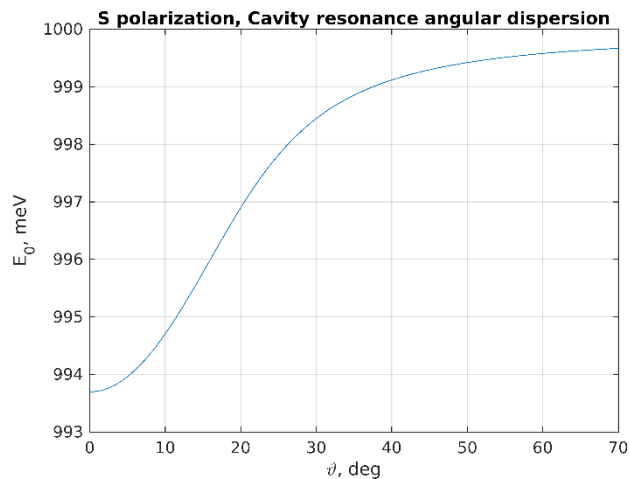
На рисунке показаны спектры пропускания «пустого»
микрорезонатора в ортогональных линейных S-и P-поляризациях
при угле падения 20°

Следующий шаг – научиться рассчитывать угловую дисперсию резонансных мод микрорезонатора

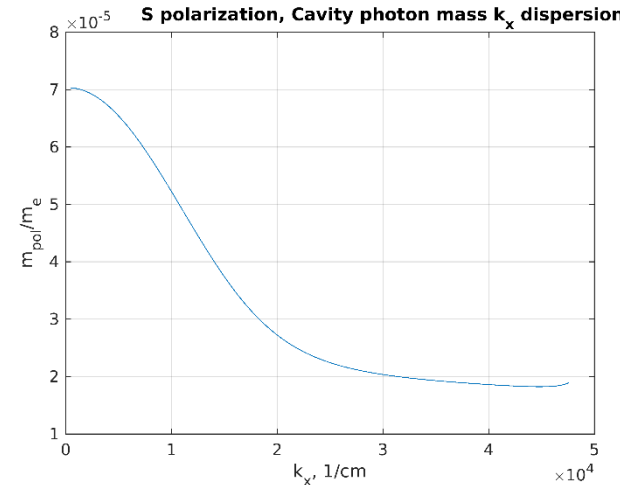
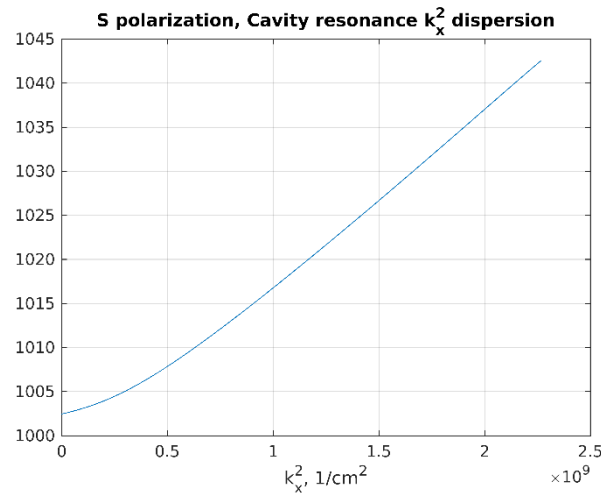
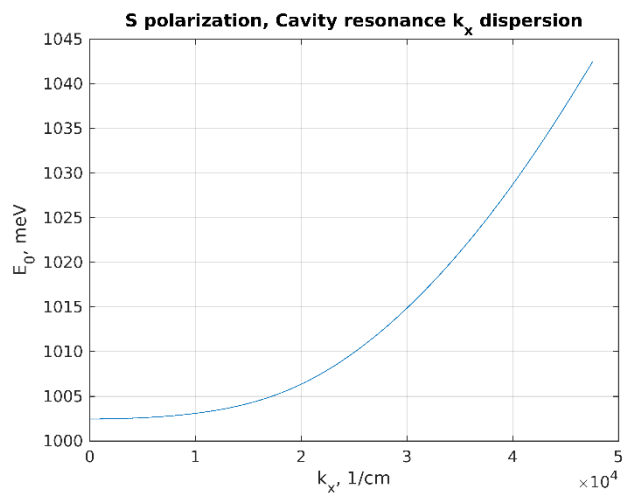
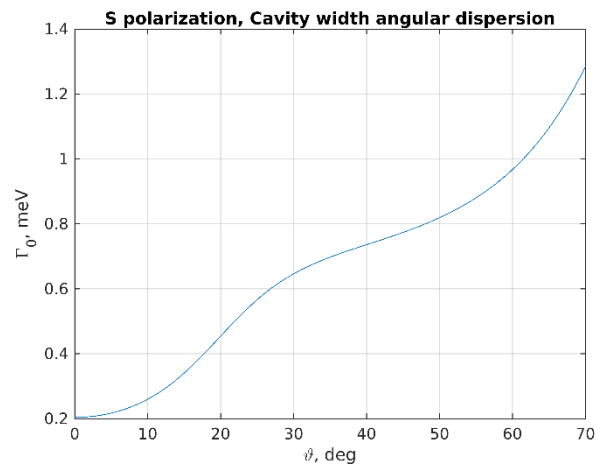
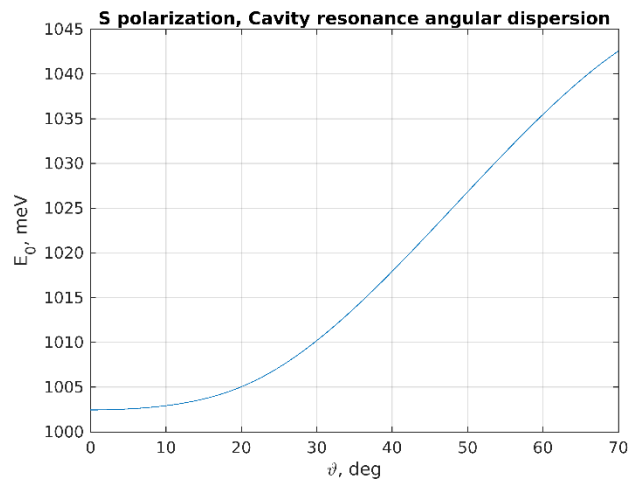


Пустой микрорезонатор

Не сложнее рассчитать угловую дисперсию поляритонных резонансных мод



Микрорезонатор с одной КЯ, нижний экситон-поляритон



Микрорезонатор с одной КЯ, верхний экситон-поляритон

Задачи, лекция 3

3.20.1. Рассчитать законы дисперсии резонансной моды «пустого» резонатора и верхнего и нижнего поляритонов с параметрами из задач 2.22.1-4. Должны получиться зависимости типа показанных на предыдущих слайдах.

3.20.2. Рассчитать эффективную массу резонансов вблизи Γ -точки в предыдущей задаче.